

Анализ нелинейных изгибно-изгибно-крутильных колебаний вращающихся закрученных стержней с учетом депланации поперечного сечения

К. В. Аврамов^а, О. С. Галас^б, О. К. Морачковский^б, К. Пьер^в

^а Институт проблем машиностроения им. А. Н. Подгорного НАН Украины, Харьков, Украина

^б Национальный технический университет “Харьковский политехнический институт”, Харьков, Украина

^в Университет Мак-Гиля, Монреаль, Канада

Исследуются нелинейные изгибно-изгибно-крутильные колебания закрученных стержней, описываемые системой трех нелинейных интегро-дифференциальных уравнений в частных производных. В уравнениях учитывается депланация поперечного сечения стержня и предполагается, что центр тяжести и жесткости находятся в разных точках. Для дискретизации системы колебания представляются в виде ряда по собственным формам линейной задачи. Свободные колебания исследуются с помощью нелинейных нормальных форм Шоу-Пьера.

Ключевые слова: изгибно-изгибно-крутильные колебания, метод нелинейных нормальных форм, скелетные кривые.

Введение. Вращающиеся стержни являются элементами лопастей вертолетов, манипуляторов, рабочих лопаток паровых и газовых турбин, лопастей воздушных винтов. В эксплуатации такие стержневые конструкции часто совершают колебания, которые могут обусловить усталостные повреждения. Исследование колебаний этих систем осложняется тем, что они имеют несимметричные поперечные сечения. В этом случае центр тяжести и центр изгиба поперечного сечения не совпадают.

Предпринимались попытки исследования нелинейных колебаний стержней с несимметричным поперечным сечением. С. П. Тимошенко [1] получил уравнения линейных изгибно-крутильных колебаний прямых незакрученных стержней с несимметричным поперечным сечением. В работах [2, 3] были получены уравнения линейных изгибно-изгибно-крутильно-продольных колебаний закрученных вращающихся стержней с учетом депланации поперечного сечения при сдвиге и кручении. В [4] представлена система уравнений в частных производных, описывающая геометрически нелинейные изгибно-изгибно-крутильно-продольные колебания вращающегося стержня. В этих уравнениях учитывалось, что центр тяжести поперечного сечения и центр жесткости находятся в одной точке. В [5, 6] получены уравнения, описывающие изгибно-изгибно-крутильные колебания стержня с учетом нерастяжимости срединной линии. При этом предполагалось, что центр тяжести поперечного сечения и центр жесткости находятся в одной точке. Систематическое изложение теории гибких стержней содержится в монографии [7].

В данной работе представлена система трех нелинейных интегро-дифференциальных уравнений в частных производных, описывающая изгибно-

изгибно-крутильные колебания гибкого вращающегося стержня с учетом деформации поперечного сечения. При выводе уравнений предполагалось, что центр тяжести поперечного сечения и центр жесткости находятся в разных точках. Получена дискретная нелинейная динамическая система, аппроксимирующая указанные колебания. Движения системы исследуются с помощью метода нелинейных нормальных форм колебаний. Анализируется влияние деформации на колебания.

Уравнения колебаний. Рассмотрим стержень, вращающийся с постоянной угловой скоростью Ω (рис. 1). Для описания движения стержня используем неподвижную систему координат xyz . Упругие перемещения вдоль осей x, y, z обозначим через $u(x, t), v(x, t), w(x, t)$ соответственно. Для объяснения уравнений колебаний предположим, что выполняется гипотеза плоских сечений. Однако в дальнейшем будет учитываться деформация поперечных сечений стержня. С плоским сечением стержня свяжем новую систему координат с ортами ξ, η, ζ . Орты η и ζ лежат на главных центральных осях. Ориентацию системы координат $\xi\eta\zeta$ относительно осей xyz опишем тремя последовательными поворотами на углы $\theta_x, \theta_y, \theta_z$. Угол θ_x описывает крутильные колебания стержня. Этот поворот происходит вокруг центра изгиба поперечного сечения. В сечении стержня вводится система координат $(\eta_1 O_1 \zeta_1)$, которая связана с центром изгиба (рис. 1). Центр тяжести поперечного сечения O в системе $(\eta_1 O_1 \zeta_1)$ определяется координатами $O(\eta^{(1)}, \zeta^{(1)})$.

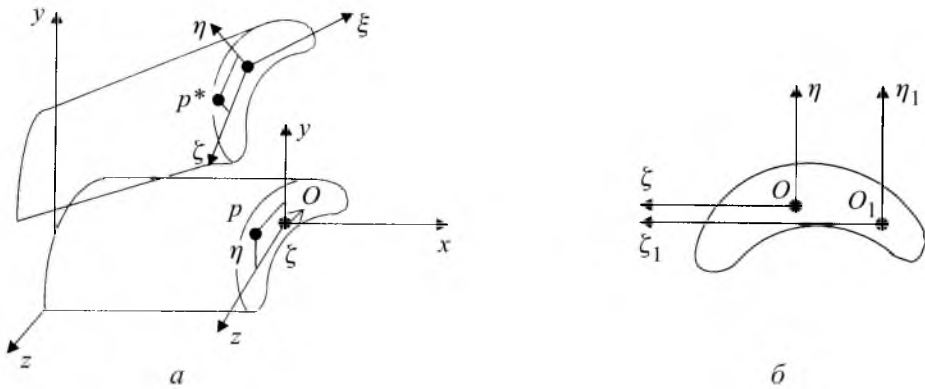


Рис. 1. Закрученный стержень.

Нелинейные интегро-дифференциальные уравнения в частных производных, описывающие изгибно-изгибно-крутильные колебания с учетом деформации поперечного сечения гибких стержней, получены в работах [8, 9]:

$$E \frac{J_\xi - J_\eta}{2} (w'' \sin 2\alpha)'' + EJ_\xi (v'' \cos^2 \alpha)'' + EJ_\eta (v'' \sin^2 \alpha)'' + m\dot{v} - m\ddot{\theta}_x e \sin \alpha +$$

$$+ m(2\Omega\dot{v} + \Omega^2 x)v' + m\Omega(e\theta_x \sin \alpha - v) \left(2\int_x^L \dot{v} dx + \Omega \frac{L^2 - x^2}{2} \right) -$$

$$\begin{aligned}
 & -em\Omega(\theta_x \sin \alpha)'(4\dot{v} + \Omega x) + em\Omega\theta_x \sin \alpha(\Omega - 2\dot{v}') - m\Omega^2 v + \\
 & + \frac{4\Omega^2 m^2}{EA} \int_0^x dx_1 \int_{x_1}^L \ddot{v} d\tilde{x} - 2m\Omega \int_0^x (v'\dot{v}' + w'\dot{w}') dx - \\
 & - 2m\Omega e \int_0^x \frac{\partial}{\partial t} (\theta_x v'' \sin \alpha - \theta_x w'' \cos \alpha) dx + E(J_\xi - J_\eta)(\theta_x w'' \cos 2\alpha)'' - \\
 & - E(J_\xi - J_\eta)(\theta_x v'' \sin 2\alpha)'' + EC_1^* (\theta_x \theta_x'' \cos \alpha)'' = 0; \tag{1a}
 \end{aligned}$$

$$\begin{aligned}
 & EJ_\xi (w'' \sin^2 \alpha)'' + EJ_\eta (w'' \cos^2 \alpha)'' + E \frac{J_\xi - J_\eta}{2} (v'' \sin 2\alpha)'' + m\ddot{w} + \\
 & + m\ddot{\theta}_x e \cos \alpha + \Omega m(2\dot{v} + \Omega x)w' - m\Omega(w + e\theta_x \cos \alpha)'' \left(2 \int_x^L \dot{v} dx + \Omega \frac{L^2 - x^2}{2} \right) + \\
 & + em\Omega(\theta_x \cos \alpha)(4\dot{v} + \Omega x) + 2\Omega em\theta_x \dot{v}' \cos \alpha + E(J_\xi - J_\eta)(\theta_x v'' \cos 2\alpha)'' + \\
 & + E(J_\xi - J_\eta)(\theta_x w'' \sin 2\alpha)'' - EC_1^* (\theta_x'' \cos \alpha)'' = 0; \tag{16}
 \end{aligned}$$

$$\begin{aligned}
 & - (D_\xi^{(1)} \theta_x')' - em\dot{v} \sin \alpha + em\dot{w} \cos \alpha + \ddot{\theta}_x [me^2 + \rho(J_\xi + J_\eta)] + \\
 & + m\Omega e (v'' \sin \alpha - w'' \cos \alpha) \left(2 \int_x^L \dot{v} dx + \Omega \frac{L^2 - x^2}{2} \right) + \Omega^2 x m e (w' \cos \alpha - v' \sin \alpha) + \\
 & + \Omega^2 \left[v e m \sin \alpha + \rho \frac{J_\xi - J_\eta}{2} \sin 2\alpha \right] + E \frac{J_\xi - J_\eta}{2} \sin(2\alpha) (w''^2 - v''^2) + \\
 & + E(J_\xi - J_\eta) \cos(2\alpha) v'' w'' + EC_1^* \theta_x'' v'' \cos \alpha - \\
 & - EC_1^* [\cos \alpha (w'' - \theta_x v'' - e\theta_x'^2 \sin \alpha)]'' + EC_1 \theta_x'' = 0; \tag{1b}
 \end{aligned}$$

$$\Delta\varphi = 0, \quad \partial\varphi / \partial n|_s = \eta n_\xi - \xi n_\eta, \quad C_1^* = \iint_A \xi\varphi d\eta d\xi, \quad C_1 = \iint_A \varphi^2 d\eta d\xi,$$

где m – масса единицы длины стержня; $S = S(\xi, \eta)$ – уравнение контура поперечного сечения стержня с нормалью $n(n_\xi, n_\eta)$; L – длина стержня; e – расстояние между центрами тяжести и жесткости поперечного сечения; $\varphi(\xi, \eta)$ – функция депланации; $\alpha(x)$ – угол закрутки стержня. Для получения системы (1) определялась кинетическая и потенциальная энергия стержня и

использовался вариационный принцип Остроградского–Гамильтона. В результате применения последнего получена система трех нелинейных интегродифференциальных уравнений в частных производных.

В систему уравнений (1) входит уравнение для функции кручения, или деформации поперечного сечения, которую можно предварительно вычислить. Например, для поперечного сечения (рис. 2), где центры жесткости и тяжести обозначаются через S.C. и C.G. соответственно, функцию кручения представим так:

$$\varphi(\eta, \zeta) = B_{10}\eta + B_{12}\eta\zeta^2 + B_{30}\eta^3, \quad (2)$$

где B_{kn} – коэффициенты, подлежащие определению с помощью метода минимизации функционала [10]:

$$I = \iint \left[\left(\frac{\partial \varphi}{\partial \eta} + \zeta - \zeta_s \right)^2 + \left(\frac{\partial \varphi}{\partial \zeta} - \eta + \eta_s \right)^2 \right] d\eta d\zeta, \quad (3)$$

где ζ_s, η_s – координаты центра изгиба.

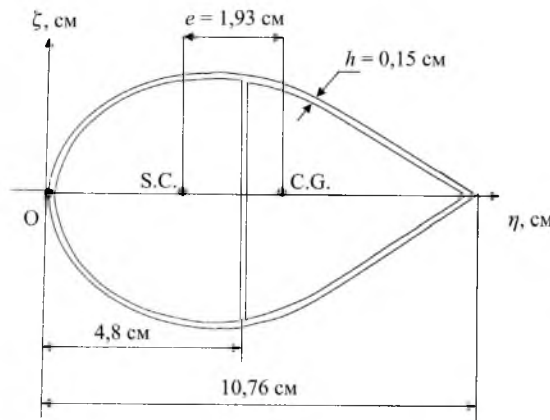


Рис. 2. Поперечное сечение стержня.

После подстановки (2) в (3) из уравнений $\frac{\partial I}{\partial B_{kn}} = 0$ получим систему

линейных алгебраических уравнений относительно коэффициентов B_{kn} . Для профиля (рис. 2) коэффициенты B_{kn} принимают следующие значения: $B_{10} = 4,712 \cdot 10^{-5}$ м; $B_{12} = -0,767$ м⁻¹; $B_{30} = 2,817 \cdot 10^{-3}$ м⁻¹.

Дискретная модель колебаний. Исследуем колебания закрученного стержня на примере лопасти вертолета. Параметры этой лопасти приведены в [9]. Ее поперечное сечение показано на рис. 2. В [9] представлен анализ линейных свободных колебаний лопасти. При дискретизации системы (1) использовались 16 собственных форм линейных колебаний, которые отвечают первым 16 собственным частотам. Поскольку центры тяжести и жесткости лежат на оси симметрии поперечного сечения, то линейные изгибные

колебания $v(x, t)$ не связаны с колебаниями $w(x, t)$ и $\theta_x(x, t)$, а функции $w(x, t)$, $\theta_x(x, t)$ связаны между собой. Собственные формы линейных изгибно-изгибно-крутильных колебаний представим так:

$$\begin{aligned}
 w(x, t) &= \sum_{\nu=1}^7 q_{\nu}(t)w_{\nu}(x); & \theta_x(x, t) &= \sum_{\nu=1}^7 q_{\nu+7}(t)\theta_{\nu}(x); \\
 v(x, t) &= \sum_{\nu=1}^2 q_{\nu+14}(t)v_{\nu}(x).
 \end{aligned}
 \tag{4}$$

Разложив систему (1) в виде функции (2), применим к ней метод Бубнова–Галеркина. В результате получим дискретную нелинейную динамическую систему с 16 степенями свободы:

$$\begin{aligned}
 \sum_{\mu=1}^{16} M_{\nu\mu} \ddot{q}_{\mu} + \sum_{\mu=1}^{16} (K_{\nu\mu} + \Omega^2 R_{\mu}^{(\nu)}) q_{\mu} + \sum_{\mu=1}^7 \sum_{j=1}^{16} A_{\mu+7,l}^{(\nu)} q_{\mu+7} q_l + \\
 + \Omega \sum_{\mu=1}^2 \sum_{j=1}^{14} D_{\mu+14,j}^{(\nu)} q_j \dot{q}_{\mu+14} - \sum_{\mu=1}^7 A_{\mu+7}^{(\nu)} q_{\mu+7} = 0, \quad \nu = 1, 7;
 \end{aligned}
 \tag{5}$$

$$\begin{aligned}
 \sum_{\eta=1}^{16} M_{l,\eta} \ddot{q}_{\eta} + \sum_{\eta=1}^{16} (K_{l,\eta} + \Omega^2 R_{\eta}^{(l)}) q_{\eta} + \Omega^2 C_l + \Omega \sum_{\eta=1}^{16} \sum_{r_2=1}^{16} D_{\eta r_2}^{(l)} \dot{q}_{\eta} q_{r_2} + \\
 + \sum_{\eta=1}^{16} \sum_{r_2=1}^{16} A_{\eta r_2}^{(l)} q_{\eta} q_{r_2} + \sum_{\eta=1}^7 \sum_{r_2=1}^2 N_{\eta+7,r_2+14}^{(l)} q_{\eta+7} q_{r_2+14} + \\
 + \sum_{\eta=1}^7 \sum_{r_2=1}^7 N_{\eta+7,r_2+7}^{(l)} q_{\eta+7} q_{r_2+7} + \sum_{\eta=1}^{16} P_{\eta}^{(l)} q_{\eta} = 0, \quad l = 8, 14;
 \end{aligned}
 \tag{6}$$

$$\begin{aligned}
 \sum_{\nu=1}^{16} (M_{\tilde{j}\nu} + \Omega^2 \tilde{M}_{\tilde{j}\nu}) \ddot{q}_{\nu} + \sum_{\nu=1}^{16} (C_{\tilde{j}\nu} + \Omega^2 R_{\nu}^{(j)}) q_{\nu} + \\
 + \Omega \sum_{\nu=1}^{16} \sum_{\mu=1}^{16} D_{\nu\mu}^{(j)} \dot{q}_{\nu} q_{\mu} + \sum_{\nu=1}^7 \sum_{\mu=1}^7 A_{\nu+7,\mu}^{(j)} q_{\nu+7} q_{\mu} + \\
 + \sum_{\nu=1}^7 \sum_{\mu=1}^2 A_{\nu+7,\mu+14}^{(j)} q_{\nu+7} q_{\mu+14} + \sum_{\nu=1}^7 \sum_{\mu=1}^7 A_{\nu+7,\mu+7}^{(j)} q_{\nu+7} q_{\mu+7} = 0, \quad j = 15, 16.
 \end{aligned}
 \tag{7}$$

Коэффициенты системы уравнений (5)–(7) не приводятся с целью краткости изложения. Данную систему представим в матричном виде:

$$(M)\ddot{q} + (K)q + \Omega F(q, \dot{q}) + \Phi(q) + F_0 + (V)q + W(q) = 0, \quad (8)$$

где

$$(M) = \begin{pmatrix} M_1 \\ M_2 \end{pmatrix}; \quad M = \begin{bmatrix} M_{11} & M_{12} & \dots & M_{1,16} \\ \dots & \dots & & \dots \\ M_{14,1} & M_{14,2} & \dots & M_{14,16} \end{bmatrix};$$

$$M_2 = \begin{bmatrix} M'_{15,1} & M'_{15,2} & \dots & M'_{15,16} \\ \dots & \dots & & \dots \\ M'_{16,1} & M'_{16,2} & \dots & M'_{16,16} \end{bmatrix};$$

$$M'_{j\nu} = M_{j\nu} + \Omega^2 \tilde{M}_{j\nu}, \quad j = \overline{15, 16}, \quad \nu = \overline{1, 16};$$

$$q = \begin{bmatrix} q_1 \\ \dots \\ q_{16} \end{bmatrix}; \quad F_0 = \begin{bmatrix} f_1^{(0)} \\ \dots \\ f_{16}^{(0)} \end{bmatrix}; \quad (K) = \begin{bmatrix} K'_{11} & \dots & K'_{1,16} \\ \dots & \dots & \dots \\ K'_{16,1} & \dots & K'_{16,16} \end{bmatrix};$$

$$K'_{\nu\mu} = K_{\nu\mu} + \Omega^2 R_{\mu}^{(\nu)}, \quad \nu = \overline{1, 16}, \quad \mu = \overline{1, 16};$$

$$\Omega F(q, \dot{q}) + \Phi(q) = \Omega \begin{bmatrix} f_1 \\ \dots \\ f_{16} \end{bmatrix} + \begin{bmatrix} \varphi_1 \\ \dots \\ \varphi_{16} \end{bmatrix};$$

$$f_\nu = \sum_{\mu=1}^2 \sum_{j=1}^{14} D_{14+\mu,j}^{(\nu)} q_j \dot{q}_{14+\mu}, \quad \nu = \overline{1, 7}; \quad f_l = \sum_{\nu=1}^{16} \sum_{\mu=1}^{16} D_{\nu\mu}^{(l)} \dot{q}_\nu q_\mu, \quad l = \overline{8, 16};$$

$$\varphi_\nu = \sum_{\mu=1}^7 \sum_{j=1}^2 A_{\mu+7,14+j}^{(\nu)} q_{\mu+7} q_{14+j} + \sum_{\mu=1}^7 \sum_{j=1}^7 A_{\mu+7,j}^{(\nu)} q_{\mu+7} q_j, \quad \nu = \overline{1, 7}; 15, 16;$$

$$\varphi_l = \sum_{r_1=1}^7 \sum_{r_2=1}^7 A_{r_1 r_2}^{(l)} q_{r_1} q_{r_2} + \sum_{r_1=1}^2 \sum_{r_2=1}^2 A_{14+r_1,14+r_2}^{(l)} q_{14+r_1} q_{14+r_2} +$$

$$+ \sum_{r_1=1}^2 \sum_{r_2=1}^7 A_{14+r_1,r_2}^{(l)} q_{14+r_1} q_{r_2}, \quad l = \overline{8, 14};$$

$$V_{ij} = 0, \quad j = \overline{1, 16}, \quad i = \overline{1, 16}; \quad V_{i1} = A_{i1}, \quad i = \overline{1, 7};$$

$$V_{j1} = P_j^{(1)}, \quad j = \overline{8, 14}; \quad V_{k1} = 0, \quad k = \overline{15, 16};$$

$$W = \begin{bmatrix} w_1 \\ \dots \\ w_{16} \end{bmatrix}; \quad w_\nu = 0, \quad \nu = \overline{1, 7};$$

$$w_l = \sum_{r_1=1}^7 \sum_{r_2=1}^2 N_{r_1+7, r_2+14}^{(l)} q_{r_1+7} q_{r_2+14} + \sum_{r_1=1}^7 \sum_{r_2=1}^7 N_{r_1+7, r_2+7}^{(l)} q_{r_1+7} q_{r_2+7}, \quad l = \overline{8, 14};$$

$$w_j = \sum_{\nu=1}^7 \sum_{\mu=1}^7 A_{\nu+7, \mu+7}^{(j)} q_{\nu+7} q_{\mu+7}, \quad j = \overline{15, 16}.$$

Некоторые параметры системы уравнений (8) не приводятся с целью краткости изложения.

Из-за вращения стержень подвергается действию центробежных сил. Поэтому в закрученном стержне имеют место статические деформации, которые описываются вектором F_0 системы (8). Статические перемещения стержня представим так: $w = q_1^{(0)} w_1(x)$; $v = q_{15}^{(0)} v_1(x)$; $\theta_x = q_8^{(0)} \theta_1(x)$. Подставим эти выражения в уравнения (8) и получим систему трех нелинейных алгебраических уравнений относительно $q_1^{(0)}$, $q_8^{(0)}$, $q_{15}^{(0)}$:

$$\begin{cases} K_{1,1} q_1^{(0)} + K_{1,15} q_{15}^{(0)} + \Omega^2 R_1^{(1)} q_1^{(0)} + \Omega^2 R_8^{(1)} q_8^{(0)} + A_{8,15}^{(1)} q_8^{(0)} q_{15}^{(0)} + \\ + A_{8,1}^{(1)} q_8^{(0)} q_1^{(0)} - A_8^{(1)} q_8^{(0)} = 0; \\ K_{8,8} q_8^{(0)} + \Omega^2 R_1^{(8)} q_1^{(0)} + \Omega^2 R_{15}^{(8)} q_{15}^{(0)} + \Omega^2 C_8 + \\ + A_{11}^{(8)} q_1^{(0)2} + A_{15,15}^{(8)} q_{15}^{(0)2} + A_{15,1}^{(8)} q_{15}^{(0)} q_1^{(0)} + N_{8,15}^{(8)} q_8^{(0)} q_{15}^{(0)} + \\ + N_{8,8}^{(8)} q_8^{(0)2} + P_1^{(8)} q_1^{(0)} + P_8^{(8)} q_8^{(0)} = 0; \\ K_{15,1} q_1^{(0)} + K_{15,15} q_{15}^{(0)} + \Omega^2 R_8^{(15)} q_8^{(0)} + \Omega^2 R_{15}^{(15)} q_{15}^{(0)} + \\ + A_{8,1}^{(15)} q_8^{(0)} q_1^{(0)} + A_{8,15}^{(15)} q_8^{(0)} q_{15}^{(0)} + A_{8,8}^{(15)} q_8^{(0)2} = 0. \end{cases} \quad (9)$$

Рассмотрим нелинейные колебания стержня относительно положения статического равновесия ($q_1^{(0)}$, $q_8^{(0)}$, $q_{15}^{(0)}$). Для этого введем замену переменных:

$$\begin{aligned} q_i &= \theta_i + q_i^{(0)}, \quad i = \overline{1, 16}; & q_1^{(0)} &\neq 0; & q_8^{(0)} &\neq 0; & q_{15}^{(0)} &\neq 0; \\ q_\nu^{(0)} &= 0 & (\nu &= \overline{2, 7, 9, 14, 16}). \end{aligned} \quad (10)$$

В новых переменных систему (8) запишем следующим образом:

$$(M)\ddot{\theta} + (K)\theta + \Omega F(\theta, \dot{\theta}) + \Phi(\theta) + (V)\theta + W(\theta) = 0. \quad (11)$$

В системе (11) два последних слагаемых описывают депланацию поперечного сечения стержня. Преобразуем систему уравнений (9):

$$(M)\ddot{\theta} + (K_1)\theta + \Omega F(\theta, \dot{\theta}) + \Phi_1(\theta) = 0, \quad (12)$$

где $K_1 = K + V$; $\Phi_1 = \Phi + W$.

Нелинейные нормальные формы колебаний. Для исследования динамики системы (12) воспользуемся нелинейными нормальными формами Шоу–Пьера [11]. Введем модальные координаты: $h = (\Lambda)^{-1}\theta$, $h = (h_1, \dots, h_{16})$, где Λ – матрица форм линейных колебаний. Справедливо следующее соотношение:

$$(M)^{-1}(K_1) = (\Lambda)(P)(\Lambda)^{-1}; \quad (\Lambda) = (\lambda_{ij})_{j=1,16}^{i=1,16}; \quad (P) = \text{diag}(p_1^2, \dots, p_{16}^2).$$

После преобразований система (12) примет такой вид:

$$\ddot{h}_i + p_i^2 h_i + \Omega Q_i(h, \dot{h}) + \Pi_i(h) = 0, \quad i = \overline{1, 16}, \quad (13)$$

где

$$Q_\mu(h, \dot{h}) = \sum_{r=1}^{16} \sum_{p=1}^{16} \tilde{\Gamma}_{rp}^{(\mu)} h_r \dot{h}_p; \quad \Pi_\mu(h) = \sum_{r=1}^{16} \sum_{p=1}^{16} \tilde{H}_{rp}^{(\mu)} h_r h_p, \quad \mu = \overline{1, 16};$$

$$\tilde{H}_{rp}^{(\mu)} = \sum_{v=1}^{16} \Gamma_{\mu v} H_{rp}^{(v)}; \quad \tilde{\Gamma}_{rp}^{(\mu)} = \sum_{v=1}^{16} \Gamma_{\mu v} B_{rp}^{(v)}, \quad (\mu, r, p) = \overline{1, 16};$$

$$(\Gamma) = (\Lambda)^{-1}(M)^{-1}; \quad (\Gamma) = (\Gamma_{ij})_{j=1,16}^{i=1,16};$$

$$B_{rp}^{(v)} = \sum_{\mu=1}^2 \sum_{j=1}^{14} D_{14+\mu,j}^{(v)} \lambda_{jr} \lambda_{14+\mu,p}, \quad v = \overline{1, 7}, \quad r = \overline{1, 16}, \quad p = \overline{1, 16};$$

$$B_{rp}^{(l)} = \sum_{v=1}^{16} \sum_{\mu=1}^{16} D_{v\mu}^{(l)} \lambda_{vr} \lambda_{\mu p}, \quad l = \overline{8, 16}, \quad r = \overline{1, 16}, \quad p = \overline{1, 16};$$

$$H_{rp}^{(v)} = \sum_{\mu=1}^7 \sum_{j=1}^2 A_{\mu+7,14+j}^{(v)} \lambda_{\mu+7,r} \lambda_{14+j,p} + \sum_{\mu=1}^7 \sum_{j=1}^7 A_{\mu+7,j}^{(v)} \lambda_{\mu+7,r} \lambda_{jp},$$

$$r = \overline{1, 16}, \quad p = \overline{1, 16}, \quad v = \overline{1, 7};$$

$$\begin{aligned}
 H_{rp}^{(l)} &= \sum_{r_1=1}^7 \sum_{r_2=1}^7 A_{r_1 r_2}^{(l)} \lambda_{r_1 r} \lambda_{r_2 p} + \sum_{r_1=1}^2 \sum_{r_2=1}^2 A_{14+r_1, 14+r_2}^{(l)} \lambda_{14+r_1, r} \lambda_{14+r_2, p} + \\
 &+ \sum_{r_1=1}^2 \sum_{r_2=1}^7 A_{14+r_1, r_2}^{(l)} \lambda_{14+r_1, r} \lambda_{r_2, p} + \sum_{r_1=1}^7 \sum_{r_2=1}^2 N_{7+r_1, 14+r_2}^{(l)} \lambda_{7+r_1, r} \lambda_{14+r_2, p} + \\
 &+ \sum_{r_1=1}^7 \sum_{r_2=1}^7 N_{7+r_1, 7+r_2}^{(l)} \lambda_{7+r_1, r} \lambda_{7+r_2, p}, \quad l = \overline{8, 14}; \\
 H_{rp}^{(m)} &= \sum_{\mu=1}^7 \sum_{j=1}^2 A_{\mu+7, 14+j}^{(m)} \lambda_{\mu+7, r} \lambda_{14+j, p} + \sum_{\mu=1}^7 \sum_{j=1}^7 A_{\mu+7, j}^{(m)} \lambda_{\mu+7, r} \lambda_{jp} + \\
 &+ \sum_{v=1}^7 \sum_{\mu=1}^7 A_{v+7, \mu+7}^{(m)} \lambda_{v+7, r} \lambda_{\mu+7, p}, \quad m = \overline{15, 16}, \quad r = \overline{1, 16}, \quad p = \overline{1, 16}.
 \end{aligned}$$

Нелинейные нормальные формы колебаний представим так:

$$\begin{aligned}
 h_i &= \Phi_i(h_k, g_k) = a_{3,i}^{(k)} h_k^2 + a_{4,i}^{(k)} h_k g_k + a_{5,i}^{(k)} g_k^2 + a_{6,i}^{(k)} h_k^3 + \\
 &+ a_{7,i}^{(k)} h_k^2 g_k + a_{8,i}^{(k)} h_k g_k^2 + a_{9,i}^{(k)} g_k^3 + \dots; \\
 g_i &= S_i(h_k, g_k) = b_{3,i}^{(k)} h_k^2 + b_{4,i}^{(k)} h_k g_k + b_{5,i}^{(k)} g_k^2 + b_{6,i}^{(k)} h_k^3 + b_{7,i}^{(k)} h_k^2 g_k + \\
 &+ b_{8,i}^{(k)} h_k g_k^2 + b_{9,i}^{(k)} g_k^3 + \dots, \quad i = \overline{1, 16}, \quad i \neq k.
 \end{aligned} \tag{14}$$

Нелинейные нормальные формы колебаний описываются системой уравнений в частных производных [11]:

$$\begin{aligned}
 s_i &= \frac{\partial \Phi_i}{\partial h_k} g_k + \frac{\partial \Phi_i}{\partial g_k} [-p_k^2 h_k - \Omega Q_k(h, g) - \Pi_k(h)]; \\
 p_i^2 \Phi_i(h_k, g_k) + \Omega Q_i(h, g) + \Pi_i(h) &= \\
 = -\frac{\partial S_i}{\partial h_k} g_k + \frac{\partial S_i}{\partial g_k} [p_k^2 h_k + \Omega Q_k(h, g) + \Pi_k(h)].
 \end{aligned} \tag{15}$$

Для решения системы (15) подставим в нее разложения (14). Приравняв слагаемые при одинаковых степенях, получим систему линейных алгебраических уравнений относительно неизвестных коэффициентов рядов (14). С целью краткости изложения данная система не приводится, а ее решение запишем так:

$$\left[\begin{aligned}
 a_{3,i}^{(k)} &= \frac{(p_i^2 - 2p_k^2)\tilde{H}_{kk}^{(i)}}{p_i^2(4p_k^2 - p_i^2)}; & a_{4,i}^{(k)} &= \frac{\Omega\tilde{\Gamma}_{kk}^{(i)}}{4p_k^2 - p_i^2}; & a_{5,i}^{(k)} &= -\frac{2\tilde{H}_{kk}^{(i)}}{p_i^2(4p_k^2 - p_i^2)}; \\
 b_{3,i}^{(k)} &= -\frac{p_k^2\Omega\tilde{\Gamma}_{kk}^{(i)}}{4p_k^2 - p_i^2}; & b_{4,i}^{(k)} &= \frac{2\tilde{H}_{kk}^{(i)}}{4p_k^2 - p_i^2}; & b_{5,i}^{(k)} &= a_{4,i}^{(k)}; \\
 a_{6,i}^{(k)} &= \frac{\Delta_{ik}^{(1)}(p_i^2 - 7p_k^2) + p_k^2(p_i^2 - 3p_k^2)\Delta_{ik}^{(6)} - 2p_k^4\Delta_{ik}^{(3)}}{(p_i^2 - 9p_k^2)(p_i^2 - p_k^2)}; \\
 a_{7,i}^{(k)} &= \frac{(3p_k^2 - p_i^2)[\Delta_{ik}^{(3)} - 3\Delta_{ik}^{(5)}] + 6p_k^4\Delta_{ik}^{(4)} - 2p_k^2p_i^2\Delta_{ik}^{(7)}}{(p_k^2 - p_i^2)(p_i^2 - 9p_k^2)}; \\
 a_{8,i}^{(k)} &= -\frac{2p_i^2\Delta_{ik}^{(6)} + 6\Delta_{ik}^{(1)} + \Delta_{ik}^{(3)}(3p_k^2 - p_i^2)}{(p_i^2 - p_k^2)(p_i^2 - 9p_k^2)}; \\
 a_{9,i}^{(k)} &= \frac{2\Delta_{ik}^{(2)} - 6\Delta_{ik}^{(5)} + (p_i^2 - 3p_k^2)\Delta_{ik}^{(7)} + \Delta_{ik}^{(4)}(7p_k^2 - p_i^2)}{(p_k^2 - p_i^2)(p_i^2 - 9p_k^2)}; \\
 b_{6,i}^{(k)} &= \frac{\Delta_{ik}^{(5)}(7p_k^2p_i^2 - p_i^4) - \Delta_{ik}^{(2)}p_k^2(3p_k^2 - p_i^2) - 6p_k^6\Delta_{ik}^{(4)} + 2p_k^4p_i^2\Delta_{ik}^{(7)}}{(p_k^2 - p_i^2)(p_i^2 - 9p_k^2)}; \\
 b_{7,i}^{(k)} &= \frac{(p_i^2 - 3p_k^2)[p_i^2\Delta_{ik}^{(6)} + 3\Delta_{ik}^{(1)}] - 2p_k^2p_i^2\Delta_{ik}^{(3)}}{(p_i^2 - p_k^2)(p_i^2 - 9p_k^2)}; \\
 b_{8,i}^{(k)} &= \frac{\Delta_{ik}^{(4)}(3p_k^2p_i^2 - 9p_k^4) - p_i^2[2\Delta_{ik}^{(2)} - 6\Delta_{ik}^{(5)}] - p_i^2(p_i^2 - 3p_k^2)\Delta_{ik}^{(7)}}{(p_k^2 - p_i^2)(p_i^2 - 9p_k^2)}; \\
 b_{9,i}^{(k)} &= -\frac{2p_i^2\Delta_{ik}^{(6)} + 6\Delta_{ik}^{(1)} + \Delta_{ik}^{(3)}(3p_k^2 - p_i^2)}{(p_i^2 - p_k^2)(p_i^2 - 9p_k^2)}.
 \end{aligned} \right. \tag{16}$$

Параметры $\Delta_{ik}^{(1)}, \dots, \Delta_{ik}^{(7)}$ не приводятся с целью краткости изложения.

Итак, нелинейные нормальные формы колебаний получены. Теперь исследуем движение, соответствующее этой форме. Рассмотрим k -е уравнение системы (13). После некоторых преобразований представим его так:

$$\begin{aligned}
 \ddot{h}_k + p_k^2 h_k + \tilde{H}_{kk}^{(k)} h_k^2 + \Omega\tilde{\Gamma}_{kk}^{(k)} h_k \dot{h}_k + P_{3,0} h_k^3 + P_{0,3} \dot{h}_k^3 + \\
 + P_{1,2} h_k \dot{h}_k^2 + P_{2,1} \dot{h}_k h_k^2 = 0,
 \end{aligned} \tag{17}$$

где

$$P_{3,0} = \Omega \sum_{\substack{p=1 \\ p \neq k}}^{16} \tilde{\Gamma}_{kp}^{(k)} b_{3,p}^{(k)} + \sum_{\substack{p=1 \\ p \neq k}}^{16} a_{3,p}^{(k)} [\tilde{H}_{p,k}^{(k)} + \tilde{H}_{kp}^{(k)}]; \quad P_{0,3} = \Omega \sum_{\substack{r=1 \\ r \neq k}}^{16} \tilde{\Gamma}_{rk}^{(k)} a_{5,r}^{(k)};$$

$$P_{1,2} = \Omega \sum_{\substack{r=1 \\ r \neq k}}^{16} \tilde{\Gamma}_{rk}^{(k)} a_{4,r}^{(k)} + \Omega \sum_{\substack{p=1 \\ p \neq k}}^{16} \tilde{\Gamma}_{kp}^{(k)} b_{5,p}^{(k)} + \sum_{\substack{p=1 \\ p \neq k}}^{16} a_{5,p}^{(k)} [\tilde{H}_{pk}^{(k)} + \tilde{H}_{kp}^{(k)}];$$

$$P_{2,1} = \Omega \sum_{\substack{r=1 \\ r \neq k}}^{16} \tilde{\Gamma}_{rk}^{(k)} a_{3,r}^{(k)} + \Omega \sum_{\substack{p=1 \\ p \neq k}}^{16} \tilde{\Gamma}_{kp}^{(k)} b_{4,p}^{(k)} + \sum_{\substack{p=1 \\ p \neq k}}^{16} a_{4,p}^{(k)} [\tilde{H}_{pk}^{(k)} + \tilde{H}_{kp}^{(k)}].$$

Из-за малости нелинейных слагаемых в системе (17) ее можно записать так:

$$\ddot{h}_k + p_k^2 h_k + \varepsilon [\tilde{H}_{kk}^{(k)} h_k^2 + \Omega \tilde{\Gamma}_{kk}^{(k)} h_k \dot{h}_k + P_{3,0} h_k^3 + P_{0,3} \ddot{h}_k^3 + P_{1,2} h_k \dot{h}_k^2 + P_{2,1} \dot{h}_k h_k^2] = 0, \quad \varepsilon \ll 1. \quad (18)$$

Решаем уравнение (18) с помощью метода многих масштабов [12]:

$$h_k = h_{k,0}(T_0, T_1, \dots) + \varepsilon h_{k,1}(T_0, T_1, \dots) + \dots, \quad (19)$$

где $T_0 = t$, $T_1 = \varepsilon t$.

Стандартные преобразования метода многих масштабов позволяют получить следующую систему модуляционных уравнений:

$$a_1' + (3P_{0,3} p_k^2 + P_{2,1}) \frac{a_1^3}{8} = 0;$$

$$\psi' = (3P_{3,0} + p_k^2 P_{1,2}) \frac{a_1^2}{8 p_k}. \quad (20)$$

Из соотношений (20) получим выражение, которое определяет зависимость частоты свободных колебаний от их амплитуды, так называемую скелетную кривую:

$$\bar{\omega}_k = p_k + \frac{\varepsilon}{8 p_k} (3P_{3,0} + p_k^2 P_{1,2}) a_1^2. \quad (21)$$

На рис. 3 представлены первые три скелетные кривые свободных колебаний стержня. Характер первых двух скелетных кривых при учете деформации поперечного сечения не изменяется (рис. 3,а,б). Однако если третья скелетная кривая без учета деформации была жесткой, то при ее учете она становится мягкой (рис. 3,в).

Известно [13], что если характер скелетной кривой мягкий, то в колебания упругой системы больший вклад вносит нелинейная инерционность, если жесткий – геометрическая нелинейность конструкции. Анализ скелетных кривых на рис. 3,в показывает, что учет деформации приводит к преобладающему вкладу нелинейной инерционности в колебания стержня, неучет деформации – геометрической нелинейности.

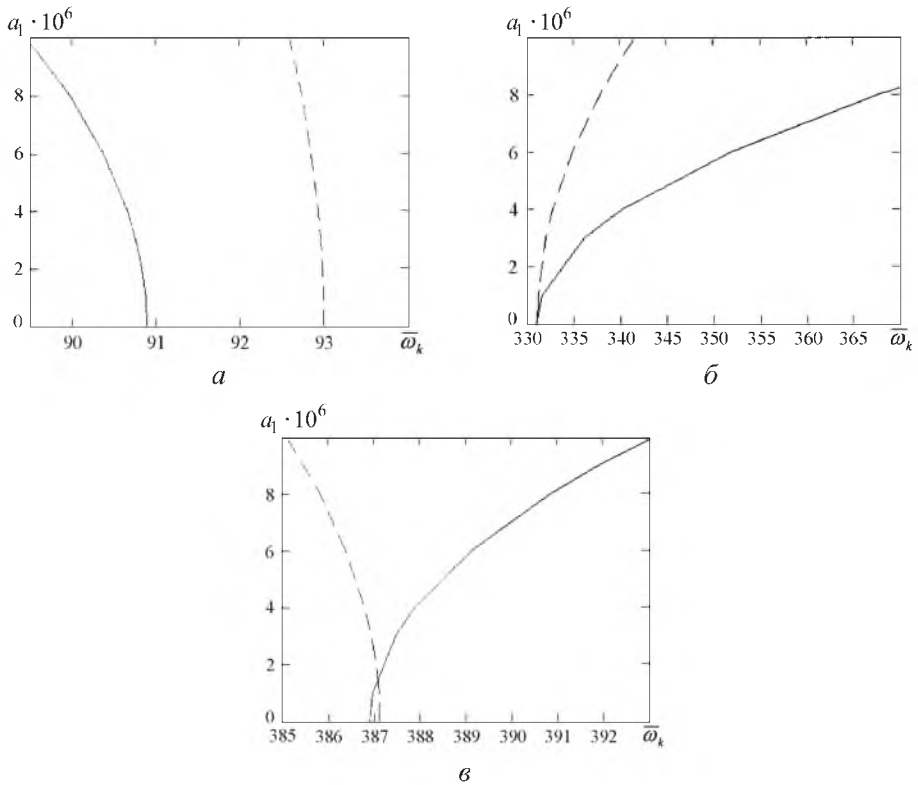


Рис. 3. Скелетные кривые свободных колебаний стержня. (Сплошные линии – без учета депланации, штриховые – с учетом депланации.)

Резюме

Досліджуються нелінійні згинно-згинно-крутні коливання стрижнів, які описуються системою трьох нелінійних інтегро-диференціальних рівнянь із частинними похідними. У цих рівняннях враховується депланация поперечного перерізу стрижня та припускається, що центри ваги та жорсткості знаходяться у різних точках. Для дискретизації системи коливання розкладаються у ряд за власними формами лінійної задачі. Вільні коливання досліджуються за допомогою нелінійних нормальних форм Шоу–П'єра.

1. Тимошенко С. П. Колебания в инженерном деле. – М.: Физматгиз, 1959. – 450 с.
2. Воробьев Ю. С., Шорр Б. Ф. Теория закрученных стержней. – Киев: Наук. думка, 1983. – 188 с.
3. Воробьев Ю. С. Уточнение уравнений свободных колебаний вращающихся стержней // Рабочие процессы в турбомашинах и прочность их элементов. – Киев: Наук. думка, 1965. – С. 11 – 27.
4. Hodges D. H. and Dowell E. H. Nonlinear Equations of Motions for the Elastic Bending and Torsion of Twisted Nonuniform Rotor Blades. – NASA TND-7818, 1974. – 52 p.

2. *Воробьев Ю. С., Шорр Б. Ф.* Теория закрученных стержней. – Киев: Наук. думка, 1983. – 188 с.
3. *Воробьев Ю. С.* Уточнение уравнений свободных колебаний вращающихся стержней // Рабочие процессы в турбомашинах и прочность их элементов. – Киев: Наук. думка, 1965. – С. 11 – 27.
4. *Hodges D. H. and Dowell E. H.* Nonlinear Equations of Motions for the Elastic Bending and Torsion of Twisted Nonuniform Rotor Blades. – NASA TND-7818, 1974. – 52 p.
5. *Crespo da Silva M. R. M. and Glynn C. C.* Nonlinear flexural-flexural-torsional dynamics of inextensional beams. I: Equations of motion // J. Struct. Mech. – 1978. – No. 6. – P. 437 – 448.
6. *Crespo da Silva M. R. M. and Glynn C. C.* Nonlinear flexural-flexural-torsional extensional dynamics of beams // Int. J. Solids Struct. – 1988. – No. 12. – P. 1225 – 1234.
7. *Гуляев В. И., Гайдачук В. В., Кошкин В. Л.* Упругое деформирование, устойчивость и колебания гибких криволинейных стержней. – Киев: Наук. думка, 1992. – 343 с.
8. *Аврамов К. В., Галас О. С., Пьер К.* Модель геометрически нелинейных изгибно-изгибно-крутильных колебаний вращающихся стержней с учетом деформации поперечного сечения // Пробл. машиностроения. – 2007. – № 2. – С. 70 – 76.
9. *Avramov K. V., Pierre C., and Shyriaieva N.* Flexural-flexural-torsional nonlinear vibrations of pretwisted rotating beams with asymmetric cross-section // J. Vibr. Control. – 2007. – No. 13. – P. 329 – 364.
10. *Филиппов А. П., Булгаков В. Н., Воробьев Ю. С. и др.* Численные методы в прикладной теории упругости: – Киев: Наук. думка, 1968. – 250 с.
11. *Аврамов К. В., Пьер К., Ширяева Н. В.* Нелинейные нормальные формы колебаний системы с гироскопическими силами // Доп. НАН України. – 2006. – № 11. – С. 7 – 10.
12. *Nayfeh A. H. and Mook D. T.* Nonlinear Oscillations. – New York: John Wiley and Sons, 1979. – 840 p.
13. *Болотин В. В.* Динамическая устойчивость упругих систем. – М.: Гостехиздат, 1956. – 500 с.

Поступила 23. 10. 2007